

- [6] Коппиллем У. Х., Смоляков Б. П., Шарипов Р. З. // Письма в ЖЭТФ. 1971. Т. 13. № 10. С. 558—560.
- [7] Крайник Н. Н., Леманов В. В., Попов С. Н., Смоленский Г. А. // ФТТ. 1975. Т. 17. № 8. С. 2462—2464.
- [8] Екимов А. И., Онущенко А. А. // Письма в ЖЭТФ. 1981. Т. 34. № 6. С. 363—366.
- [9] Warner K. L., Beamish J. R. // Phys. Rev. B. 1987. V. 36. N 10. P. 5698—5701.

Казанский государственный университет  
им. В. И. Ульянова—Ленина  
Казань

Поступило в Редакцию  
22 августа 1988 г.

УДК 587.312.62

*Физика твердого тела, том 31, в. 4, 1989*  
*Solid State Physics, vol. 31, N 4, 1989*

## АНИЗОТРОПИЯ ИК СПЕКТРОВ ОТРАЖЕНИЯ МОНОДОМЕННОЙ ОБЛАСТИ МОНОКРИСТАЛЛА $\text{YBa}_2\text{Cu}_3\text{O}_{7-x}$

*A. B. Баженов, B. K. Власко-Власов, M. B. Инденбом*

Исследования 1—2—3 монокристаллов ВТСП позволили выявить связанное с анизотропией кристаллической решетки различие их физических свойств (проводимости [1], критических тока [2] и магнитного поля [3], отражения и пропускания света [4]) в направлении оси с [001] и по нормали к ней. В то же время изучение анизотропии в самой базисной плоскости (а, б) сталкивается со значительными трудностями из-за наличия в редкоземельных купратах развитой двойниковой структуры. При макроскопических исследованиях анизотропия усредняется по доменной структуре и измеряемые характеристики оказываются изотропными [5].

В последнее время появился ряд сообщений [6—8] об анизотропии оптических свойств в базисной плоскости, которую удалось выявить в отдельных доменах достаточно большого размера в видимом диапазоне спектра. На основе анализа изменений поляризации света при отражении от различных граней монокристаллов  $\text{YBa}_2\text{Cu}_3\text{O}_{7-x}$  в [8] было установлено, что в области 1.6—2.5 эВ оптическая проводимость  $\sigma$  вдоль оси **b**, параллельной цепочкам Cu—O, существенно превышает  $\sigma$  вдоль с и а. Подобная аномальная оптическая проводимость может быть обусловлена повышенной электрической проводимостью квазиодномерного типа вдоль цепочек Cu—O. Поскольку при  $\hbar\omega \geq 0.5$  эВ оптические свойства  $\text{YBa}_2\text{Cu}_3\text{O}_{7-x}$  в значительной степени определяются межзонными электронными переходами [9], а плазменный край  $\sim 1.5$  эВ [5], для проверки данного предположения необходимы оптические исследования в таком спектральном диапазоне, где свободные носители дают доминирующий вклад в формирование оптических характеристик. В соответствии с [9] в иттриевом купрате эта область  $\hbar\omega \leq 0.5$  эВ. Поэтому целью настоящей работы было исследование анизотропии ИК спектров отражения и интегрального пропускания линейно-поляризованного света в свободных от двойников областях на плоскости ab сверхпроводящих монокристаллов  $\text{YBa}_2\text{Cu}_3\text{O}_{7-x}$  в диапазоне 0.07—0.62 эВ. Следует отметить, что исследование анизотропии ИК отражения от базисной плоскости было ранее выполнено на  $\text{EuBa}_2\text{Cu}_3\text{O}_{7-x}$ , однако в этих кристаллах вклад свободных носителей в диэлектрическую проницаемость оказалось трудно выявить из-за наличия линий резонансных электронных возбуждений [10].

В данной работе исследовались пластинки иттриевого купрата размером  $0.5 \times 0.5 \times 0.02$  мм с развитой базисной плоскостью (001), имеющие температуру сверхпроводящего перехода около 90 К. На рис. 1 показано

увеличенное изображение одного из исследовавшихся монокристаллов в отраженном поляризованном свете. Направления осей  $a$  и  $b$  в монодоменной области кристалла определялись поляризационно-оптическим методом. При этом ось  $b$  выявлялась с помощью компенсатора Берека как направление, при поляризации вдоль которого свет испытывает задержку фазы в процессе отражения [8]. На рис. 1 окружностью выделена область диаметром 80 мкм, от которой регистрировались спектры отражения линейно-поляризованного света с помощью ИК микроскопа Фурье-спектрометра при 300 К. Поляризатор (он же и анализатор) помещался между объективом микроскопа и исследуемым образцом. Спектры отражения регистрировались от естественной поверхности кристалла.

На рис. 2 показаны спектры отражения, измеренные при разных поляризациях, а также в неполяризованном свете. Монотонный рост коэффи-

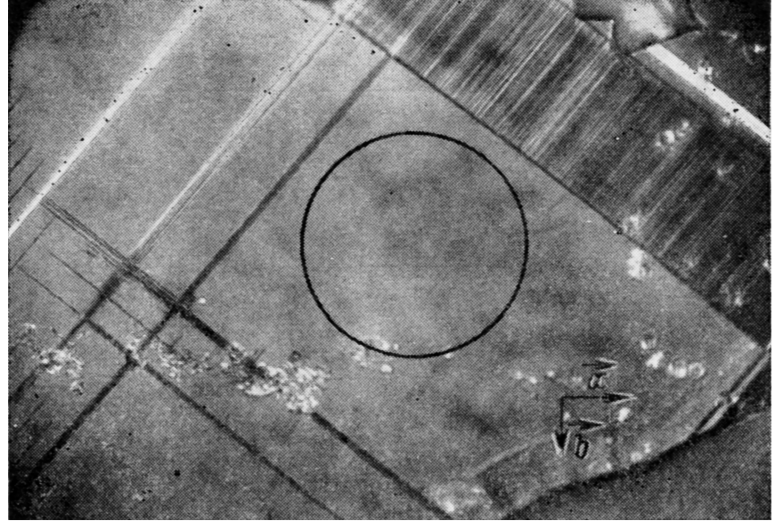


Рис. 1. Изображение поверхности (001) монокристалла YBaCuO в поляризованном свете при нормальном отражении.

циента отражения  $R$  неполяризованного света (спектр 1) с уменьшением  $\hbar\omega$  качественно согласуется с зависимостью Друде. В то же время характер спектров отражения линейно-поляризованного света существенно изменяется при поворотах вектора поляризации  $E$  в базисной плоскости. Наиболее сильно отличаются спектры для  $a$ - и  $b$ -поляризаций света. В случае  $E \parallel b$   $R_b(\hbar\omega)$  (спектр 2) носит характер зависимости Друде, причем ее параметры незначительно (в  $\sim 1.5-2$  раза) отличаются от полученных в [9] для неполяризованного света. Однако при  $E \parallel a$  (спектр 3) коэффициент отражения  $R_a$  слабо зависит от длины волны и его изменения не описываются в рамках теории Друде. Отметим, что абсолютная величина  $R_a$  велика, около 50 %, а при  $\hbar\omega > 0.45$  эВ ( $3500 \text{ см}^{-1}$ ) она оказывается выше значений  $R_b$  в этой области.

Сравнение спектра отражения неполяризованного света со спектром, полученным в [9], демонстрирует их хорошее согласие в исследованной области 0.07–0.62 эВ. В [9] измерения проведены в широком спектральном диапазоне и показано, что при  $\omega \leq 4000 \text{ см}^{-1}$  отражение неполяризованного света определяется в основном свободными носителями. Это позволяет заключить, что наблюдаемая в нашем случае при  $\omega < 3500 \text{ см}^{-1}$  анизотропия спектров отражения обусловлена анизотропией электропроводности в плоскости  $ab$ . Наибольшая проводимость наблюдается вдоль направления  $b$ , совпадающего с направлением цепочек Cu—O. В то же время слабую зависимость  $R_a(\hbar\omega)$ , большую величину  $R_a$  и ее превышение

ние над  $R_b$  при  $\omega > 3500 \text{ см}^{-1}$  можно объяснить влиянием электронных межзонных переходов, которые, как показано в [9], вносят существенный вклад в диэлектрическую проницаемость при  $\omega \geq 4000 \text{ см}^{-1}$ .

Поскольку коэффициент отражения определяется показателями преломления  $n$  и поглощения  $k$ , данные переходы могли бы привести к анизотропии спектров  $R(\hbar\omega)$  при  $\omega < 3500 \text{ см}^{-1}$ , если бы связанный с ними анизотропный вклад  $n$  в  $R$  являлся доминирующим. Для проверки этого предположения было измерено интегральное пропускание линейнополяризованного света в монодоменной области химически утоненного монокристалла в спектральном диапазоне от 0.1 до 0.6 эВ. Установлено, что пропускание в поляризации  $E \parallel b$  как минимум на порядок меньше пропускания света с поляризацией  $E \parallel a$ . Таким образом, анизотропия спектров отражения в первую очередь обусловлена анизотропией  $k$ , т. е. анизотропией поглощения света свободными носителями.

Переходя к вопросу о возможной природе анизотропии электрической проводимости монокристаллов  $\text{YBa}_2\text{Cu}_3\text{O}_{7-x}$ , отметим, что имеется боль-

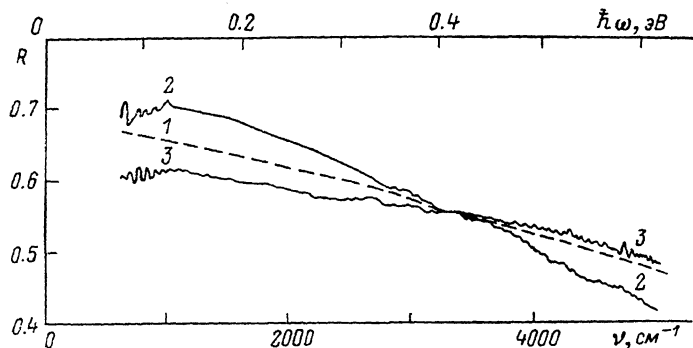


Рис. 2. Спектры отражения монодоменной области монокристалла  $\text{YBa}_2\text{Cu}_3\text{O}_{7-x}$  (на рис. 1 выделена окружностью) при 300 К. Волновой вектор света  $q \parallel c$  [001].

шое количество публикаций, авторы которых проводят связь с плоскостью  $\text{Cu } 2-\text{O}_2, 3$ . В работе [7] на основании поляризационно-оптического исследования в видимом диапазоне сделан вывод о движении свободных носителей как по цепочкам  $\text{Cu}-\text{O}$ , так и в изотропной плоскости  $\text{Cu}_2-\text{O}_2, 3$ . Аналогичные исследования [8] как на базисной, так и на торцевой гранях позволили выявить аномальную анизотропию оптической проводимости вдоль  $b$  в  $\text{YBa}_2\text{Cu}_3\text{O}_{7-x}$ , что позволило предположить наличие квазидимерной проводимости в соответствии с зонными расчетами [11]. Это коррелирует с измеренной недавно анизотропией проводимости на постоянном токе в бездвойниковых кристаллах  $\text{YSr}$ -купратов [12]. Наблюдаемая нами анизотропия спектров отражения и пропускания также может свидетельствовать о квазидимерной проводимости вдоль цепочек  $\text{Cu}-\text{O}$ . Однако возможно также, что эта анизотропия связана с влиянием цепочек  $\text{Cu}_1-\text{O}_1$  на проводимость, в целом определяемую плоскостью  $\text{Cu}_2-\text{O}_2, 3$ . Действительно, если изобразить подрешетку кислород—медь с учетом ионных радиусов  $\text{O}^{2-}$  (1.35 Å) и  $\text{O}^-$  (1.76 Å) ( $\text{O}^-$  соответствует в таком представлении наличию дырок в валентной зоне кристалла), то окажется, что в результате перекрытия волновых функций  $\text{O}1$  и  $\text{O}4$  образуются параллельные друг другу плотноупакованные плоские фрагменты  $\text{O}1-\text{Cu}_1-\text{O}4$ , эффективно взаимодействующие с ионами  $\text{O}^{-1}$  плоскостей  $\text{Cu}_2-\text{O}_2, 3$ . Такое взаимодействие может быть причиной анизотропной электрической проводимости в плоскости  $\text{Cu}_2-\text{O}_2, 3$  и связанной с ней анизотропии спектров отражения и пропускания, определяемых свободными носителями. И в то же время слабое перекрытие волновых функций ионов кислорода, разделенных иттриевыми слоями, обеспечивает низкую проводимость вдоль  $c$ .

Авторы благодарят В. Б. Тимофеева за интерес к работе и полезные замечания.

### Список литературы

- [1] Буравов Л. И., Винников Л. Я., Емельченко Г. А. и др. // Письма в ЖЭТФ. 1988. Т. 47. № 1. С. 50—52.
- [2] Farrell D. E., Chandrasekhar B. S., De Guire M. R. et al. // Phys. Rev. B. 1988. V. 36. N 7. P. 4025—4028.
- [3] Takita K., Akinaga H., Katoh H., Masuda K. // Jap. J. Appl. Phys. 1987. V. 26. N 9. P. L1552—L1554.
- [4] Suzuki M., Oda M., Enomoto Y., Murakami T. // Jap. J. Appl. Phys. 1987. V. 26. N 12. P. L2052—L2054.
- [5] Wang X., Namba T., Ikezawa M. et al. // Jap. J. Appl. Phys. 1987. V. 26. N 12. P. L2023—L2025.
- [6] Schmid H., Rivera J.-P., Clin M. et al. // Physica C. 1988. V. 153—155. Pt 2. P. 1748—1751.
- [7] Semba K., Suzuki H., Katsui A. et al. // Jap. J. Appl. Phys. 1987. V. 26. N 10. P. L1654—L1647.
- [8] Власко-Власов В. К., Инденбом М. В., Осипьян Ю. А. // Письма в ЖЭТФ. 1988. Т. 47. № 6. С. 312—315.
- [9] Schlesinger Z., Collins R. T., Kaiser D. L. et al. // Physica C. 1988. V. 153—155. Pt 2. P. 1734—1739.
- [10] Tanaka J., Kamija K., Tsurumi S. // Physica C. 1988. V. 153—155. Pt 1. P. 653—654.
- [11] Massidda S., Yu J., Freeman A. J. // Phys. Lett. A. 1987. V. 122. N 3—4. P. 198—202.
- [12] Веркин Б. И., Дмитриев В. М., Дикин Д. А. и др. // ФНТ. 1988. Т. 14. № 2. С. 218—221.

Институт физики твердого тела  
АН СССР  
Черноголовка  
Московская область

Поступило в Редакцию  
22 августа 1988 г.

УДК 537.311.31

Физика твердого тела, том 31, в. 4, 1989  
Solid State Physics, vol. 31, N 4, 1989

## ПОПЕРЕЧНОЕ МАГНИТОСОПРОТИВЛЕНИЕ МОНОКРИСТАЛЛИЧЕСКИХ ПЛЕНОК НИКЕЛЯ

Н. И. Киселев, Ю. И. Маньков, В. Г. Пынько

Известно [1], что растягивающие напряжения оказывают влияние на магнитосопротивление монокристаллических ферромагнетиков. Чаще всего при этом исследуются нитевидные образцы (вискеры). Напряжения в этом случае прикладываются вдоль направления роста кристалла, т. е. образцы подвергаются одностороннему растяжению.

Недавно [2] сообщалось о технологии выращивания толстых монокристаллических пленок никеля методом химического транспорта на подложке из окиси магния. Метод позволяет получать пленки толщиной в пределах  $2 \text{ мкм} \leq d \leq 15 \text{ мкм}$ , причем они характеризуются сравнительно высоким отношением остаточных сопротивлений  $\eta = \rho_{300 \text{ К}} / \rho_{4.2 \text{ К}}$ , достигающим  $10^3$ .

В соответствии с технологией пленки выращивались при температуре подложки  $1000^\circ\text{C}$ . Коэффициент теплового расширения никеля  $\alpha_{Ni}$  превышает соответствующий коэффициент  $\alpha_{MgO}$  для окиси магния. Например, при комнатной температуре  $\alpha_{Ni}=12.5 \cdot 10^{-6}$ ,  $\alpha_{MgO}=11.2 \cdot 10^{-6}$  град $^{-1}$ . Следовательно, при охлаждении пленка, будучи связана с подложкой, подвергается плоскостному растягивающему напряжению, которое приводит к тетрагональной деформации кристаллической решетки. Этот вывод был подтвержден сравнением параметров кристаллической решетки, измеренных методом рентгеновской дифракции при комнатной температуре  $T_c$  и  $T=77 \text{ K}$ .